

基于有限元法和锁相热像法对含缺陷构件的应力分析与疲劳性能评估

Stress Analysis and Fatigue Behavior
Assessment of Components with
Defect Based on FEM and
Lock-in Thermography

樊俊铃^{1,2}, 郭强¹, 赵延广³, 郭杏林¹

(1 大连理工大学 工业装备结构分析国家重点实验室,
辽宁 大连 116024; 2 中国飞机强度研究所, 西安 710065;

3 北京航空材料研究院, 北京 100095)

FAN Jun-ling^{1,2}, GUO Qiang¹, ZHAO Yan-guang³, GUO Xing-lin¹

(1 State Key Laboratory of Structural Analysis for Industrial Equipment,
Dalian University of Technology, Dalian 116024, Liaoning, China;

2 Aircraft Strength Research Institute of China, Xi'an 710065, China;

3 Beijing Institute of Aeronautical Materials, Beijing 100095, China)

摘要: 基于有限元法研究含盲孔缺陷构件的应力集中系数 K_t 随盲孔深度 h 和盲孔直径 ϕ 的变化规律。利用锁相热像法的热弹性分析模式(E-Mode)研究盲孔附近的应力分布,预测不同深度盲孔的 K_t ,与有限元结果相比较发现吻合良好。通过 Altair Li 软件中的耗散模式(D-Mode)和 Altair 软件分别研究构件在疲劳过程中的固有耗散量和温度信号的变化规律,以评估疲劳损伤的演化过程。以固有耗散和温度信号的变化规律作为疲劳损伤的指标,快速预测带盲孔试件的疲劳极限,进而预测试件的疲劳缺口系数 K_f 。理论计算的结果证明了锁相热像法的有效性。

关键词: 锁相热像法; 应力集中; 热弹性应力分析; 固有耗散; 疲劳性能

doi: 10.11868/j.issn.1001-4381.2015.08.011

中图分类号: TG115.5; O343.6 **文献标识码:** A **文章编号:** 1001-4381(2015)08-0062-10

Abstract: The relationships between the stress concentration factor K_t with the depth h and diameter ϕ of the blind hole were investigated based on the FEM. The thermo-elastic analysis mode (E-Mode) built-in the lock-in thermography was utilized to study the stress distribution around the blind hole, and to predict the variation of K_t of different depth. Good predictions were achieved between the thermography and FEM. The variations of the intrinsic dissipation and the temperature signal during fatigue process were studied respectively using the dissipation mode (D-Mode) of Altair Li and Altair software, to evaluate fatigue damage evolution. These two signals were considered as fatigue damage markers to rapidly predict the fatigue limit and the fatigue notch factor K_f of the component with blind hole. The theoretical result validates the capability of the lock-in thermography.

Key words: lock-in thermography (LT); stress concentration; thermo-elastic stress analysis (TSA); intrinsic dissipation; fatigue behavior

应力集中是由于构件的局部几何形状(缺口或截面突变),材料性质(内部缺陷或材料交接)或是承受载荷的不连续性造成构件局部应力增加的现象。局部的

应力集中往往会导致结构疲劳强度降低的主要因素^[1]。盲孔常见于工程结构中,它们的存在破坏了结构的连续性,导致局部的应力集中,容易成为裂纹萌生

2.3 实验研究

疲劳实验系统包括 MTS810 伺服液压试验机、红外热成像仪、数字锁相盒及相应的设备控制软件和图像采集和数据后处理软件^[21]。Cedip Jade III 红外热成像仪的响应光谱范围为 3~5 μm, 空间分辨率达到 320×240 像素, 采样频率可达 170 Hz, 在 25°C 时热分辨率一般小于 0.025°C。锁相技术通过快速傅里叶变换进行实时的数据处理, 能够汲取周期载荷下材料热耗散引起的微小温升。利用数字锁相技术对采集的热像信号进行实时的处理后, 可使最小温度分辨率达到 0.001°C^[2,3]。

疲劳实验在常温的实验室环境中开展, 加载前利用细砂纸对所有被测试件的表面边界棱角处进行打磨处理, 减小或消除棱角处的应力集中和边界效应对实验结果的影响。然后在所有疲劳试件表面均匀喷涂一层薄薄的黑色亚光漆, 以提高试件表面的热发射率, 使之达到约 0.95 左右。待黑色亚光漆晾干之后, 在应力比为 $R = -1$ 、加载频率 $f_L = 15 \text{ Hz}$ 的条件下进行阶梯式连续加载的疲劳实验^[22]。循环应力以正弦波的形式加载, 根据不同的盲孔深度 $h = 0.9, 1.8, 2.7 \text{ mm}$, 初始应力幅值 $\sigma_a = 100, 70, 80 \text{ MPa}$, 各级应力增量为 5~10 MPa, 各级应力水平下的循环次数为 4000 周次(此时试件表面状态达到相对稳定), 连续加载直至试件出现宏观裂纹或发生疲劳断裂为止。在疲劳实验的过程中, 利用 Altair Li 软件中的 E-Mode 和 D-Mode 分别采集试件表面的应力场和耗散场, 同时通

过 Altair 软件记录试件表面的温度场信号。这样通过热像图中局部热点区域的应力、耗散和温度信号, 就可以对疲劳演化过程中的应力状态变化、损伤程度进行分析研究。根据这些信号的演化规律, 就可以从物理意义上对材料和构件的疲劳参数进行快速预测。

3 结果分析与讨论

3.1 有限元应力分析

关于盲孔附近应力分布的解析解尚未导出^[23], 所以本工作利用有限元软件 ABAQUS 对带盲孔构件的应力分布状态进行了分析。有限元模拟所加的均布载荷使得盲孔处的名义应力水平 $\sigma_a = 170 \text{ MPa}$ 。图 3 是通过有限元模拟所获得的相同盲孔直径 $\phi = 6 \text{ mm}$ 、不同盲孔深度 h 下的主应力场状况。盲孔附近模拟应力场的分布形状为经典的类蝴蝶结形, 最大主应力 σ_{\max} 位于垂直于试件加载方向的盲孔截面上^[24], 通过计算可知, 相应的理论应力集中系数 $K_t = \sigma_{\max}/\sigma_a = 1.6371, 1.8976, 2.0139, 2.0327, 2.1681$ 。图 4 是垂直于加载方向的盲孔截面上从盲孔底部到顶部路径 $h(x)$ 上的理论应力集中系数 K_t 分布图。此处应力集中系数 K_t 定义为路径上每个点的主应力值与盲孔截面名义应力的比值。可知: 盲孔上应力集中程度最大的位置不在盲孔底根部, 而是在靠近盲孔顶部的孔壁上。

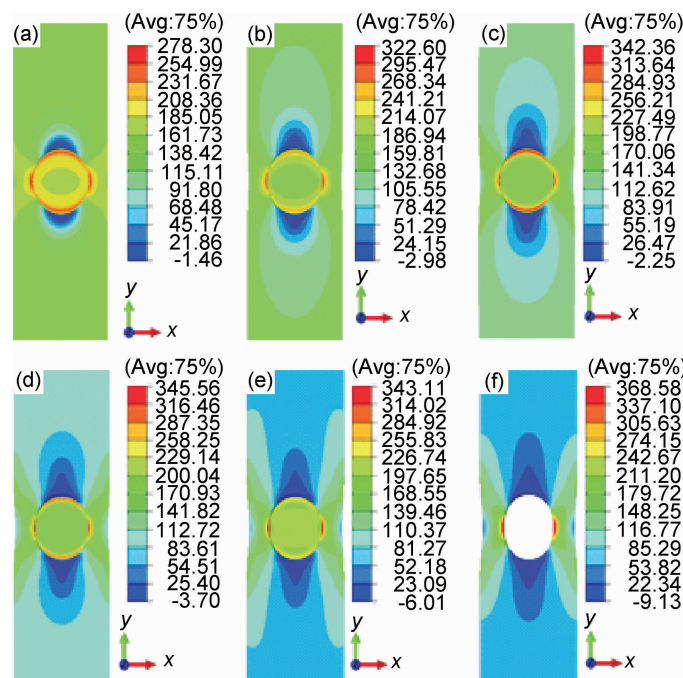


图 3 随盲孔深度变化的应力场 (a)0.9mm;(b)1.8mm;(c)2.7mm;(d)3.6mm;(e)4.5mm;(f)5.0mm

Fig. 3 Evolution of stress field with the depth of blind hole (a)0.9mm;(b)1.8mm;(c)2.7mm;(d)3.6mm;(e)4.5mm;(f)5.0mm

劳损伤程度不断加剧,也使得该区域固有耗散的能量不断增多,从而引起了试件表面温度场信号的不断升高,这里往往是宏观疲劳裂纹预先出现的位置。因此,构件局部温度信号的变化与其局部的应力状态和损伤累积程度息息相关,这就可以通过疲劳演化过程中的固有耗散和表面温度信号变化规律进行在役结构的安全性评估,减少或避免疲劳失效事故的突然发生。

图 10 和图 11 分别是在名义应力幅 $\sigma_a = 190 \text{ MPa}$ 下的固有耗散场和温度信号沿不同路径的分布图。分析可知,与应力场分布相似,在盲孔周围的耗散和温度有明显的梯度变化,在远离盲孔的试件标距内,由于受到应力集中的影响较小,耗散量和温升值的变化均较小,而且场分布也比较均匀,说明这些地方的疲劳损伤

程度均匀,累积程度也较小。同时,通过固有耗散、温度和应力沿路径的分布曲线还可以定量计算盲孔缺陷的平面尺寸。本工作中试件的实际宽度 $B = 10 \text{ mm}$, 在热像图中对应 42 个像素点,而通过分析固有耗散、温度与应力沿不同路径的分布曲线上的突变点,可以获知盲孔缺陷区域所占的平均像素点为 27.67, 计算其所对应的尺寸为 6.59 mm , 与盲孔的实际直径 $\phi = 6 \text{ mm}$ 的误差约为 10%。由于定量热成像法所采集的热像图为试件表面的可视部分,所以不能给出盲孔缺陷的具体深度。但是锁相红外热像技术作为一种无损检测手段,可通过构件表面温度信号的相位及幅值信息确定含缺陷构件一定深度范围内($<10 \text{ mm}$)的缺陷尺寸^[25,26]。

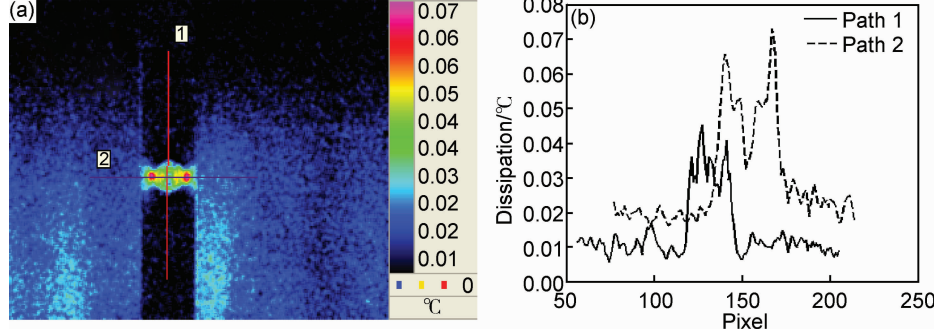


图 10 190MPa 下的耗散分布 (a)热像图;(b)两条路径上的耗散值

Fig. 10 Dissipation distribution under 190MPa (a)thermal image;(b)dissipation along the two paths

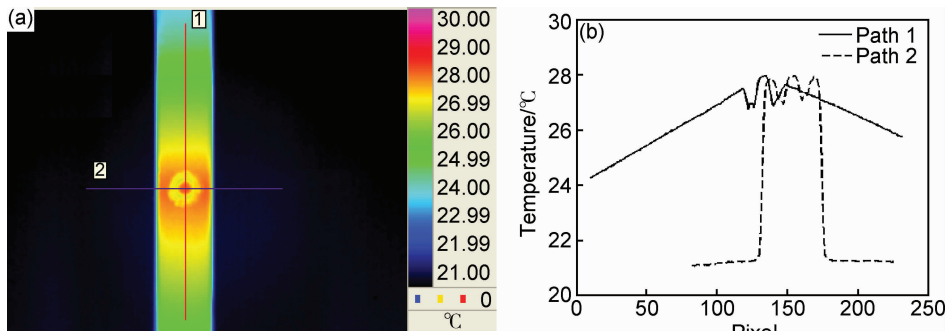


图 11 190MPa 下的温度分布 (a)热像图;(b)两条路径上的温度值

Fig. 11 Temperature distribution under 190MPa (a)thermal image;(b)temperature along the two paths

3.4 疲劳极限的快速预测

利用传统的疲劳实验方法(成组法和升降法)来获取材料或构件的疲劳极限,实验周期长、资源消耗大。锁相红外热像法根据材料疲劳损伤过程中的固有耗散及其相应的温度信号的变化规律,为快速、准确地评估材料和构件的疲劳性能参数提供了有力的手段,而且大量的研究结果显示,由该方法所预测的材料和构件的疲劳极限与传统方法之间具有良好的吻合性^[27-29]。

图 12 是采用阶梯式连续加载的方法,分别利用疲劳损伤累积过程中构件表面的固有耗散和温度信号的变化规律,所确定的不同盲孔深度的试件疲劳极限 σ_{df} 。可知,疲劳过程中的固有耗散和温升变化规律均可以作为疲劳损伤的评估指标,用于快速预测评估材料和构件的疲劳极限。本工作中的盲孔试件 $\phi = 6 \text{ mm}$, $h = 0.9, 1.8, 2.7 \text{ mm}$, 这两种评估指标所预测的疲劳极限间的误差分别为 0.31%, 1.49%, 1.18%。由于盲孔的深度与应力集中程度相关,故图 12 中试件

- 404—406.
- [26] 刘俊岩, 戴景民, 王洋. 红外锁相法热波检测技术及缺陷深度测量[J]. 光学精密工程, 2010, 18(1): 37—44.
LIU J Y, DAI J M, WANG Y. Thermal wave detection and defect depth measurement based on lock-in thermography[J]. Optics and Precision Engineering, 2010, 18(1): 37—44.
- [27] 樊俊铃, 郭杏林, 赵延广, 等. 定量热像法预测焊接接头的 S-N 曲线和残余寿命[J]. 材料工程, 2011, (12): 29—33.
FAN J, GUO X, ZHAO Y, et al. Predictions of S-N curve and residual life of welded joints by quantitative thermographic method[J]. Journal of Materials Engineering, 2011, (12): 29—33.
- [28] 王凯, 同志峰, 王文先, 等. 循环载荷作用下镁合金温度演化及高周疲劳性能预测[J]. 材料工程, 2014, (1): 85—89.
WANG K, YAN Z F, WANG W X, et al. Temperature evolution and fatigue properties prediction for high cycle fatigue of magnesium alloy[J]. Journal of materials Engineering, 2014, (1): 85—89.
- [29] 樊俊铃, 郭杏林, 吴承伟, 等. 热像法和能量法快速评估 Q235 钢的疲劳性能[J]. 材料工程, 2012, (12): 71—76.
FAN J L, GUO X L, WU C W, et al. Fast evaluation of fatigue behavior of Q235 steel by infrared thermography and energy approach[J]. Journal of Materials Engineering, 2012, (12): 71—76.
- [30] 赵延广, 郭杏林, 任明法. 含缺陷疲劳试件的锁相红外热成像无损检测[J]. 光学学报, 2010, (10): 2776—2781.
ZHAO Y G, GUO X L, REN M F. Lock-in infrared thermography for the non-destructive testing of fatigue specimen with defects[J]. Acta Optica Sinica, 2010, (10): 2776—2781.
- [31] 胡本润, 刘建中, 陈建峰. 疲劳缺口系数 K_f 与理论应力集中系数 K_t 之间的关系[J]. 材料工程, 2007, (7): 70—73.
HU B R, LIU J Z, CHEN J F. Relationship between fatigue notch factor K_f and stress concentration factor K_t [J]. Journal of Materials Engineering, 2007, (7): 70—73.
- [32] 姚卫星. 结构疲劳寿命分析[M]. 北京: 国防工业出版社, 2003.
YAO W X. Fatigue Life Prediction of Structures[M]. Beijing: Defense Industry Press, 2003.

基金项目:国家自然科学基金资助项目(11072045)

收稿日期:2013-12-03; **修订日期:**2014-09-04

通讯作者:郭杏林(1955—), 男, 教授, 博导, 研究方向: 工程力学、实验力学、计算力学, 联系地址: 辽宁省大连市大连理工大学工程力学系工业装备结构分析国家重点实验室(116024), E-mail: xlguo@dlut.edu.cn